

بررسی حذف مواد هیومیکی آب از طریق فرایند اکسیداسیون پیشرفته با فناوری فوتوكاتالیتیکی UV/TiO₂

حسن خرسندي^۱

بیژن بینا^۲

محمد مهدی امین^۳

(دریافت ۸۶/۱۰/۲۶ پذیرش ۸۷/۵/۲۸)

چکیده

ترکیبات هیومیکی به عنوان یکی از پیش‌سازهای اصلی محصولات جانبی گندزدایی شناخته شده‌اند، که با عنايت به عدم حصول استانداردهای محصولات جانبی گندزدایی با فرایندهای متداول تصفیه آب، استفاده از روش‌های نوبن از جمله فرایندهای اکسیداسیون پیشرفته برای حذف پیش‌سازهای آنها، بیش از پیش مورد توجه قرار گرفته‌اند. فرایند UV/TiO₂ به عنوان یکی از روش‌های اکسیداسیون پیشرفته با فناوری فوتوكاتالیتیکی است که پایداری و راندمان بالا از امتیازات مهم این فرایند محسوب می‌شود. از این‌رو در این مطالعه، راندمان حذف مواد هیومیکی با این فرایند مورد توجه قرار گرفته است. این تحقیق به صورت تجربی- مداخله‌ای با استفاده از یک راکتور در مقیاس آزمایشگاهی با شرایط ناپیوسته انجام شد. راکتور فوتوكاتالیتیکی مورد استفاده، به شکل استوانه‌ای از جنس استیل بسیار صاف به حجم مفید ۲/۸ لیتر ساخته شده بود و پرتو UVC توسط یک لامپ جیوه‌ای کم فشار ۵۵ واتی حاوی پوشش کوارتز در امتداد مرکزی کل طول راکتور تأمین می‌شد و شرایط لازم جهت اختلاط کامل و عمل هوادهی محتویات راکتور نیز فراهم شده بود. برای هر یک از نمونه‌های برداشته در طی فرایند UV/TiO₂ و سایر فرایندهای ارزیابی شده، پارامترهای ارزیابی کریں آلی محلول، جذب و جذب مخصوص اشعه ماوراء بنفش در طول موج ۲۵۴ نانومتر مورد اندازه‌گیری قرار گرفتند. طبق نتایج حاصله، فرایند فوتوكاتالیتیکی UV/TiO₂ در شرایط TiO₂ برابر با ۱/۰ گرم بر لیتر و pH برابر با ۵، از بیشترین کارایی در حذف ترکیبات هیومیکی منابع آبی برخوردار بوده و قادر است کریں آلی محلول اولیه ۵ میلی‌گرم بر لیتر را بعد از ۱/۵ ساعت واکنش فوتوكاتالیتیکی درجه اول با ضریب سرعت 0.267 min^{-1} به $0.394 \text{ mg.m}^{-2} \text{ L/mg}$ قابل است کیفیت مطلوب آب آشامیدنی را از لحاظ ترکیبات هیومیکی تأمین کند.

واژه‌های کلیدی: مواد هیومیکی، آب آشامیدنی، اکسیداسیون پیشرفته، فرایند فوتوكاتالیتیکی، اشعه ماوراء بنفش.

Removal of Humic Substances from Water by Advanced Oxidation Process Using UV/TiO₂ Photo Catalytic Technology

Hassan Khorsandi¹

Bijan Bina²

Mohammad mehdī Amin³

(Received Jan. 15, 2007 Accepted Aug. 18, 2008)

Abstract

Humic substances have been known as precursors to disinfection by-products. Because conventional treatment processes cannot meet disinfection by-product standards, novel methods have been increasingly applied for the removal of disinfection by-products precursors. The UV/TiO₂ process is one of the advanced oxidation processes using the photocatalytic technology. The most important advantages of this process are its stability and high efficiency removal. The present study aims to investigate the effect of UV/TiO₂ photo-catalytic technology on removal of humic substances. The study was conducted in a lab-scale batch photo-catalytic reactor using the interval experimental method. The UV irradiation source was a low pressure mercury vapor lamp 55w that was

1. Faculty Member of Environmental Health Dept., Urmia University of Medical Sciences, (Corresponding Author) (+98 311) 7922722 hassankhorsandi@yahoo.com
2. Prof. of Environmental Health, Isfahan University of Medical Sciences
3. Assist. Prof. of Environmental Health, Isfahan University of Medical Sciences

۱- غupo هیئت علمی گروه بهداشت محیط دانشگاه علوم پزشکی ارومیه (نویسنده مسئول)
hassankhorsandi@yahoo.com (۰۳۱۱) ۷۹۲۲۷۷۲۲

۲- استاد مهندسی بهداشت محیط، دانشگاه علوم پزشکی اصفهان

۳- استادیار مهندسی بهداشت محیط، دانشگاه علوم پزشکی اصفهان

axially centered and was immersed in a humic acids solution within a stainless steel tubular 2.8 L reaction volume. Each of the samples taken from the UV/TiO₂ process and other processes studied were analyzed for their dissolved organic carbon, UV absorbance at 254nm, and specific UV₂₅₄ absorbance. The results indicated the high efficiency of the UV/TiO₂ photo-catalytic process (TiO₂=0.1 g/L and pH=5), compared to other processes, for humic substances removal from water sources. The process was also found to be capable of decreasing the initial dissolved organic carbon from 5 to 0.394 mg/L. The Specific UV₂₅₄ Absorbance of 2.79 L/mg.m was attained after 1.5 hr. under photo-catalytic first order reaction ($k = 0.0267 \text{ min}^{-1}$). It may be concluded that the UV/TiO₂ process can provide desirable drinking water quality in terms of humic substance content.

Keywords: Humic Substances, Drinking Water, Advanced Oxidation, Photo Catalytic Process, Ultraviolet Light.

اعلام نموده و در مرحله دوم قانون مذکور^{۱۲}، عدم لزوم ارزیابی اولیه سیستم توزیع آب منوط به این است که در هر یک از نمونه‌های برداشته شده از نقاط مختلف سیستم، این مقادیر به ترتیب کمتر از ۴۰ ppb و ۳۰ ppb باشند. با این وجود استاندارد انگلستان برای کل تری هالومتان‌ها ۱۰۰ میکروگرم بر لیتر بوده و این در حالی است که پتانسیل تشکیل تری هالومتان‌ها توسط مواد آلی طبیعی، بیش از ۱۰۰ میکروگرم به ازای هر میلی‌گرم DOC می‌باشد، به طوری که حدود ۱ میلی‌گرم بر لیتر از DOC باقی‌مانده، می‌تواند برای شکستن استاندارد مذکور کفایت کند [۴، ۵ و ۶].

نظر به اینکه بیشتر فرایندهای متداول تصفیه آب، قادر به تأمین حداقل DOC باقی‌مانده به منظور حصول استاندارد محصولات جانبی گندزدایی از جمله THMs نمی‌باشند، لذا در سالهای اخیر در راستای افزایش آلودگی منابع آبی، استفاده از روش‌های جدید برای حذف مواد آلی طبیعی بیش از پیش مورد توجه قرار گرفته‌اند که از جمله روش‌های نوین برای حذف پیش سازهای DBPs می‌توان به فرایندهای اکسیداسیون پیش‌رفته^{۱۳} اشاره نمود.

فرایندهای اکسیداسیون پیش‌رفته به طور معمول در برگیرنده تولید و استفاده از رادیکال هیدروکسیل (OH*) به عنوان یک اکسیدکننده قوی برای تجزیه و تخریب مواد آلاینده می‌باشد [۷]. در اکسیداسیون پیش‌رفته با فناوری فوتوکاتالیتیکی، از یک نیمه هادی نظری TiO₂ برای برآنگیختگی نوری الکترون‌های باند ظرفیت به باند هدایتی (e⁻_{CB})^{۱۴}، تحت تابش UV با انرژی بیش از ۳/۲ الکترون ولت (اشعة ماوراء بنفش با طول موج کوتاه‌تر از ۳۸۷/۵ نانومتر) استفاده می‌شود. این الکترون‌های برآنگیخته منتقل شده به باند هدایتی به همراه حفره‌های^{۱۵} مثبت ایجاد شده در باند ظرفیت کاتالیست (h⁺_{VB})، طی واکنش‌های مختلفی به منظور تولید رادیکال هیدروکسیل مورد استفاده قرار می‌گیرند. در این فناوری، نیمه هادی‌ها به عنوان کاتالیزور عمل نموده و وضعیت شیمیایی آنها بعد از هر چرخه واکنش‌های کاتالیتیکی، مشابه حالت اولیه آنها خواهد

۱- مقدمه

مواد هیومیک به گروهی از ماکرومولکولهای آلی ناممکن^۱ با وزن مولکولی زیاد اطلاق می‌شود که ترکیبات اصلی تشکیل دهنده آنها عموماً به صورت کربوهیدرات، پروتئین و لیگنین بوده و درصد قابل توجهی از وزن مولکولی‌شان به گروههای عامل اکسیژن‌دار مربوط می‌شود. این گروههای عامل، واکنش‌های مختلف مواد هیومیکی را با عناصر معدنی و مولکولهای آلی موجود در محیط‌های آبی امکان‌پذیر می‌سازند. مواد هیومیکی، بر اساس حلالیت به سه دسته اسیدهای هیومیک^۲، اسیدهای فولویک^۳ و هیومین^۴ تقسیم‌بندی می‌شوند که اسیدهای هیومیک و فولویک حدود ۵۰ درصد کربن آلی محلول^۵ را در آبهای سطحی تشکیل می‌دهند [۱، ۲ و ۳].

ترکیبات هیومیکی از مهم‌ترین مواد آلی طبیعی^۶ موجود در منابع آبی و به عنوان یکی از پیش‌سازهای اصلی محصولات جانبی گندزدایی^۷ خصوصاً تری هالومتان‌ها^۸ و هالواستیک اسیدها^۹ شناخته شده‌اند که احتمال سرطان‌زاوی و تأثیر نامطلوب بر بافت‌های کلیوی، کبدی، عصبی و تناسلی از جمله عوارض بهداشتی آنها محسوب می‌شود. عمل به اصلاحات سال ۱۹۸۶ قانون آب آشامیدنی سالم^{۱۰} در آمریکا و نگرانی‌هایی که درباره پتانسیل اثرات بهداشتی DBPs وجود داشت منجر به تصویب مرحله اول قانون آب آشامیدنی در سال ۱۹۹۸ توسط سازمان حفاظت محیط زیست آمریکا گردید. این قانون که با ایجاد موازنۀ میان مخاطرات میکروبیولوژیکی و شیمیایی ارائه شده است، حداقل غلظت^{۱۱} را برای کل تری هالومتان‌ها، ۸۰ ppb و برای مجموع پنج هالواستیک اسید، ۶۰ ppb

¹ Heterogeneous

² Humic Acids (HAs)

³ Fulvic Acids (FAs)

⁴ Humin

⁵ Dissolved Organic Carbon (DOC)

⁶ Natural Organic Matter (NOM)

⁷ Disinfection By-products (DBPs)

⁸ Trihalomethanes (THMs)

⁹ Haloacetic Acids (HAAs)

¹⁰ Safe Drinking Water Act (SDWA)

¹¹ Maximum Contaminant Level (MCL)

¹² Stage 2 DBPR, 2002

¹³ Advanced Oxidation Processes

¹⁴ Conduction Band

¹⁵ Holes

TiO_2 برابر ۱/۰ گرم بر لیتر بعد از ۲/۵ ساعت، راندمان حذف DOC و جذب UV254 به ترتیب بیش از ۹۰ و ۹۵ درصد به دست آمد. ضمن اینکه افزودن ۱ میلی مول H_2O_2 در pH برابر ۷، موجب حصول راندمان‌های مذکور در مدت یک ساعت می‌شود [۱۰].

هدف این مقاله بررسی حذف مواد هیومیکی آب از طریق اکسیداسیون پیشرفتی با فناوری فوتوكاتالیتیکی UV/TiO₂ به عنوان اولین کار داخلی می‌باشد.

۲- مواد و روشهای

به منظور تأمین اهداف کلی و جزئی تعیین شده، مطالعات لازم به صورت تجربی- مداخله‌ای انجام گردید. بر این اساس، تأثیر پذیری غلظت باقیمانده اسید هیومیک به عنوان متغیر وابسته در مقابل پارامترهای راهبری و عملیاتی مانند غلظت اولیه اسید هیومیک، غلظتهای مختلف دی اکسید تیتانیم، pH، زمان تابش UV و افزایش H_2O_2 به عنوان متغیرهای مستقل مورد تجزیه و تحلیل قرار گرفتند. این تحقیق در مقیاس آزمایشگاهی به صورت ناپیوسته انجام شد، که راکتور مورد استفاده به شکل استوانه‌ای از جنس استیل بسیار صاف و صیقلی ساخته شده بود تا حداقل انعکاس پرتو در ۲۵۳/۷ نانومتر توسط یک لامپ جیوه‌ای کم فشار UV با قدرت ۵۵ وات تأمین می‌شد که لامپ مذکور در درون پوشش کوارتن بسیار شفاف به قطر ۳ سانتی‌متر در امتداد کل طول راکتور و به صورت مرکزی قرار گرفته بود. محل انجام واکنش بر روی نمونه‌های آب، فضای بین پوشش کوارتنی لامپ UV و پوشش استیلی محفظه استوانه‌ای با حجم کل ۲/۸ لیتر بود که فوتوراکتور مذکور به منظور بارگذاری نمونه اولیه، عملیات نمونه‌برداری و تزریق هوا، به یک مخزن ۵ لیتری متصل شده بود. به منظور اختلال کامل و گردش پیوسته محطوبیات راکتور، یک پمپ آکواریوم (فیلکوی^۷ ایتالیا) در مسیر بین مخزن ۵ لیتری و محفظه اصلی فوتوراکتور قرار داده شده بود و هواهی نمونه‌های تحت واکنش نیز توسط یک پمپ هوا (رنای فرانسه) تأمین می‌گردید. شمای کلی پایلوت در شکل ۱ و مشخصات فیزیکی فوتوراکتور در جدول ۱ ارائه شده است.

نمونه‌های اولیه برای مطالعه حذف مواد هیومیکی آب از طریق اکسیداسیون فوتوكاتالیتیکی UV/TiO₂ با حل کردن حجم مشخصی از محلول ذخیره^۸ ۱۰۰۰ ppm اسید هیومیک در ۴/۵ لیتر از آب مقطر دی یونیزه به منظور حصول غلظت مورد نظر DOC اولیه تهیه می‌شوند. ۱۵۰ سی سی از نمونه تهیه شده برای کنترل غلظت اولیه

⁷ Filco
⁸ Stock

بود. به این ترتیب، در حالت عادی در این مدل از فرایندهای اکسیداسیون پیشرفتی نیازی به افزودن ماده اکسیدکننده شیمیایی به سیستم نخواهد بود [۸]، پایین بودن هزینه‌ها، پایداری و راندمان بالا از امتیازات مهم این فرایند محسوب می‌شود [۷ و ۸].

مورای^۱ و پارسونز^۲ در سال ۲۰۰۴ فرایندهای انعقاد متداول، فنتون، فتوفنتون و UV/TiO₂ را برای حذف مواد آلی طبیعی آب خام تصفیه‌خانه آلبرت هالیفاکس^۳ انگلستان با DOC برابر با ۹/۶۴ میلی‌گرم بر لیتر و جذب UV₂₅₄^۴ برابر با ۳۸ m^{-۱} مورد بررسی قرار دادند. در این مطالعه UV/TiO₂ با ۹۶ درصد حذف جذب UV₂₅₄ بیشترین راندمان را دارا بوده در حالی که هدف از به کارگیری روشهای اختصاصی تصفیه، رسیدن به $UV_{254} \leq 3$ می‌باشد. غلظت TiO₂ در این مطالعه برای شرایط مناسب تصفیه، ۵ گرم بر لیتر و pH راکتور برابر ۵ انتخاب شده بود. نتایج این طرح نشان داد که راندمان انعقاد متداول برای حذف UV₂₅₄ Abs. و DOC به ترتیب ۷۰ و ۷۵ درصد می‌باشد [۹].

مورای و پارسونز در سال ۲۰۰۶ در فرایند UV/TiO₂ به جای سوسپانسیون UV/TiO₂ از پوشش ثابت آن در قالب اسلاید برای حذف NOM آب خام تصفیه‌خانه مورد مطالعه در سال ۲۰۰۴ استفاده کردند. در این تحقیق، راندمان حذف جذب UV₂₅₄ برابر ۸۹ درصد و میزان DOC حذف شده به ازای هر مترمربع از اسلاید پوشش داده شده با کاتالیست، ۱/۳۳۶ گرم تعیین شد. نتیجه اصلی این مطالعه، پیشنهاد به کارگیری روش ثابت، برای بینیاز شدن از فیلتراسیون اضافی برای حذف کاتالیست‌های معلق می‌باشد [۹].

پی بر لی کلچ^۵ و همکارانش در سال ۲۰۰۶ از فرایند UV/TiO₂ و تصفیه غشایی به صورت هیبرید برای حذف مواد آلی طبیعی با غلظت ۲/۳ ppm استفاده نمودند. در این بررسی، راندمان حذف NOM در شرایط مطلوب (با TiO_2 برابر ۱/۰ گرم بر لیتر، pH بهینه ۴/۵ تا ۶/۵ UV با طول موج ۲۵۴ نانومتر) بین ۸۷ تا ۹۰ درصد بود [۸].

سنلی ام. لیم^۶ و همکارانش در سال ۲۰۰۶، راندمان فرایندهای فوتوفنتون و UV/TiO₂ را از نظر حذف DOC و جذب UV₂₅₄ و پتانسیل تشکیل تری هالومتان مورد مقایسه قرار دادند. در فرایند فوتوفنتون با شرایط بهینه بعد از ۲/۵ ساعت، میزان حذف DOC بیش از ۸۰ درصد و حذف جذب UV₂₅₄ حدود ۹۰ درصد حاصل شد. در این مطالعه در سیستم فوتوكاتالیتیکی UV/TiO₂ توسط

¹ C. A. Murray

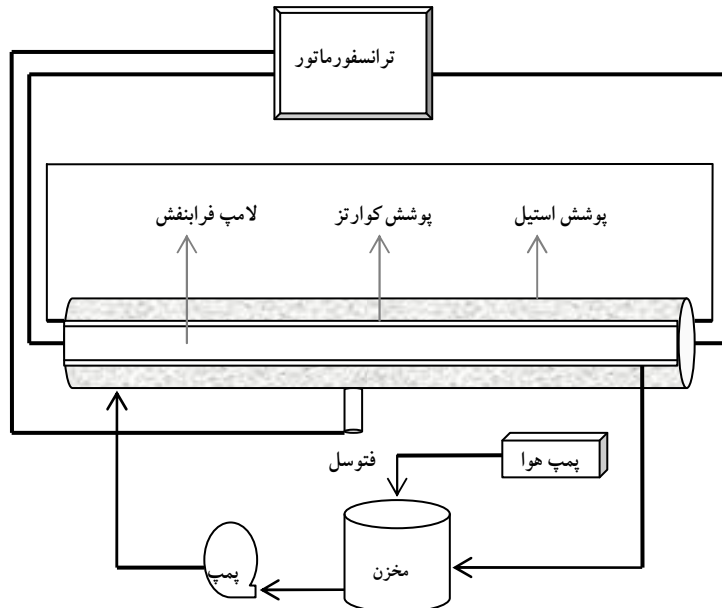
² S. A. Parsons

³ Halisax

⁴ UV₂₅₄ Absorbance

⁵ Pierre Le- clech

⁶ Sanly M. Lim



شکل ۱- شماتی کلی فوتوراکتور و تجهیزات به کار رفته در آن

۲۵۴ UV موج در طول بنش در مخصوص جذب مخصوص DOC^۲ مورد اندازه گیری قرار گرفتند. به منظور تعیین صاف سازی نمونه ها توسط فیلتر میلی پور ۰/۴۵ میکرومتری از روش احتراق در حرارت زیاد^۴، بر اساس بخش B ۵۳۱۰ کتاب روش های استاندارد در سال ۱۹۹۹، آنالیز کننده TOC ساخت شرکت شیمادزو^۵ با مدل TOC-V_{CSH} استفاده شد. آنها به استناد قسمت ۵۹۱۰ این کتاب توسط دستگاه اسپکترو فتو متر ۵۰۰۰ DR^۶ تعیین گردید و سپس از تقسیم UV₂₅₄ Abs هر نمونه به DOC آن مقدار SUVA استخراج شد [۱۱].

۳- نتایج و بحث

۱- تأثیر غلظت اولیه TiO_2 بر کارایی سیستم UV/ TiO_2 در حذف اسید هیومیک برای مشخص کردن غلظت بهینه TiO_2 در حذف اسید هیومیک با فرایند فوتوكاتالیتیکی UV/ TiO_2 در pH برابر ۰/۵، DOC_0 برابر ۵ میلی گرم بر لیتر و DO_0 برابر ۵/۶ میلی گرم بر لیتر، غلظتهاي ۰/۰۵ و ۱/۰ گرم بر لیتر از TiO_2 مورد ارزیابی قرار گرفت که یافته های حاصله، در شکل ۲ ارائه شده است. به استناد این یافته ها، دی اکسید تیتانیوم در غلظت ۱/۰ گرم بر لیتر بعد از ۰/۶ ساعت و نیم، با ۹۵/۶ درصد حذف DOC و ۹۸/۶ درصد حذف UV₂₅₄ Abs از بیشترین راندمان برخوردار می باشد.

² Specific UV₂₅₄ Absorbance (SUVA)

³ Millipore

⁴ High Temperature Combustion

⁵ SHIMADZU

⁶ DR 5000 UV-VIS Spectrophotometer

جدول ۱- خصوصیات فیزیکی فوتوراکتور

پارامتر / نوع	مقدار / نوع
طول راکتور استیل (سانتی متر)	۹۲
قطر راکتور استیل (سانتی متر)	۷/۶
حداکثر فشار قابل تحمل (بار)	۵
طول پوشش کوارتز (سانتی متر)	۹۲
قطر محافظه کوارتز (سانتی متر)	۳
حجم مغذی راکتور استیل (لیتر)	۲/۸
منع تعذیه	ترانسفورماتور ۲۲۰ تا ۲۴۰ ولت
عمر لامپ (ساعت)	۵۰۰۰
دز تابش ($\mu W.s/cm^2$)	۵۰۰۰

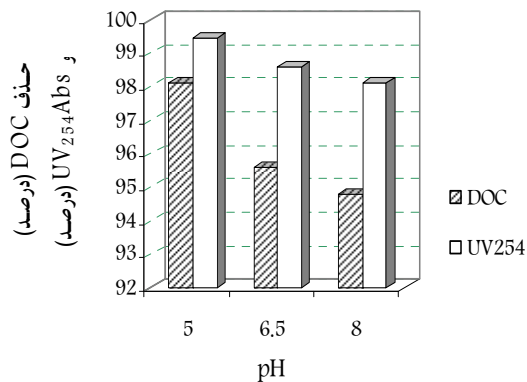
و جذب UV در طول موج ۲۵۴ نانومتر (UV₂₅₄ Abs.) جدا گردید و بقیه آن (۴/۳۵ لیتر) بعد از افزودن مقدار تعیین شده پودر دی اکسید تیتانیم، به مخزن ۵ لیتری راکتور منتقل می شد. بعد از هر نیم ساعت تابش خالص UV به محتویات راکتور، در پنج مرحله، دو نمونه جداگانه جمعاً به حجم ۱۵۰ میلی لیتر پس از صاف سازی با فیلتر و اتمن ۰/۴۵ میکرون، به منظور تعیین DOC و UV₂₅₄ Abs. برداشت می گردید.

۱ میلی مول آب اکسیژنه ساخت شرکت Merck^۱ به منظور بررسی تأثیر افزایش H_2O_2 بر سیستم UV/ TiO_2 ، در شرایط $DOC_0=0$ ، TiO_2 برابر ۵ میلی گرم بر لیتر، pH برابر ۱/۰ گرم بر لیتر، DO برابر ۵/۶ ppm، به سیستم اضافه گردید.

برای هر یک از نمونه های خام حاوی اسید هیومیک و نمونه های برداشتی در طی فرایند فوتوكاتالیتیکی UV/ TiO_2 و سایر فرایندهای ارزیابی شده، پارامترهای کربن آلی محلول، جذب اشعه

¹ Merck

مورد مقایسه قرار گرفتند. یافته‌های حاصله در شکل ۴ ارائه گردیده است. به استناد این یافته‌ها، فرایند UV/TiO_2 در $\text{pH} = 6.5$ با 5 g/L DOC و 5.6 ppm DO درصد حذف UV_{254} از بیشترین راندمان برخوردار می‌باشد. فرایند مذکور در $\text{pH} = 6.5$ بعد از $1/5$ ساعت واکنش فوتوكاتالیتیکی، DOC باقیمانده و میزان UV_{254} Abs . UV_{254} را به ترتیب به $0/394$ میلی‌گرم بر لیتر و $1/1 \text{ m}^{-1}$ کاهش داده و با دارا بودن SUVA برابر $2/79 \text{ L/mg.m}$ از مقبولیت کافی در حذف اسید هیومیک به عنوان پیش‌ساز DBPs برخوردار است. در تأیید نتایج حاصله لازم است pH بدانیم که TiO_2 در $\text{pH} = 6.5$ حالت بی‌بار داشته و این $\text{pH} < \text{PZC}^1$ شناخته شده است اما در $\text{pH} > \text{PZC}$ TiO_2 به عنوان TiO_2 باز مثبت داشته و اسید هیومیک را به دلیل دارا بودن بار منفی، تحت تأثیر نیروهای الکترواستاتیکی، به خوبی جذب می‌نماید. علاوه بر این، TiO_2 در حالت باز مثبت، پتانسیل بیشتری در تولید رادیکال هیدروکسیل داشته و در تجزیه اسید هیومیک از راندمان بیشتری برخوردار است [۱۰، ۸ و ۲].

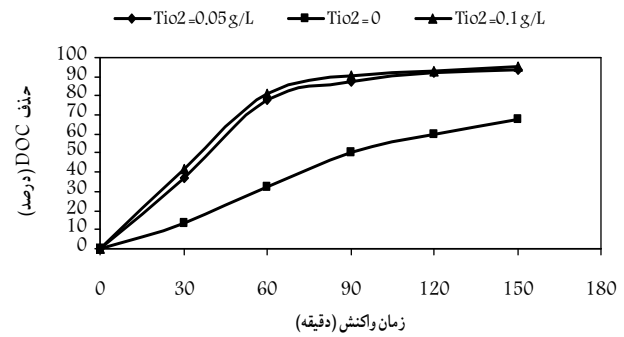


شکل ۴- مقایسه راندمان فرایند فوتوكاتالیتیکی UV/TiO_2 برای اکسیداسیون اسید هیومیک در pH های مختلف ($\text{TiO}_2 = 0.1 \text{ g/L}$, $\text{DOC}_{t=0} = 5 \text{ ppm}$, $\text{DO} = 5.6 \text{ ppm}$, $\text{Re. Time} = 2.5 \text{ hr.}$)

طبق شکل ۵، سینتیک اکسیداسیون فوتوكاتالیتیکی UV/TiO_2 در حذف اسید هیومیک در pH اسیدی، خنثی و بازی از واکنش‌های درجه اول تبعیت نموده و ثابت سرعت واکنش در حذف DOC در $\text{pH} = 6.5$ برابر 5 , $\text{pH} = 6/5$ و $\text{pH} = 8$ به ترتیب $0/0267$, $0/0212$ و $0/0227$ بر دقیقه می‌باشد.

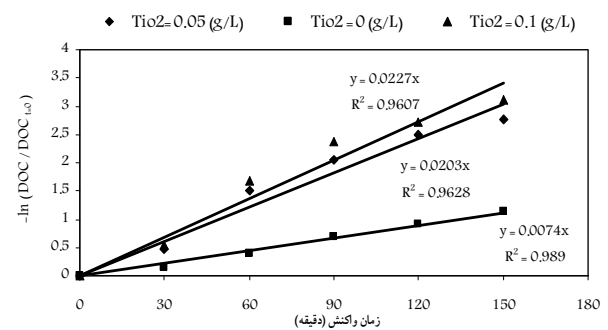
بنا به دلایل فوق، $\text{pH} = 5$ به عنوان شرایط بهینه برای فرایند فوتوكاتالیتیکی UV/TiO_2 در حذف اسید هیومیک انتخاب گردید، هر چند که $\text{pH} = 6/5$ نیز از کارایی کافی به منظور تأمین استاندارد DOC باقیمانده برخوردار بود.

¹ Point of Zero Charge (PZC)



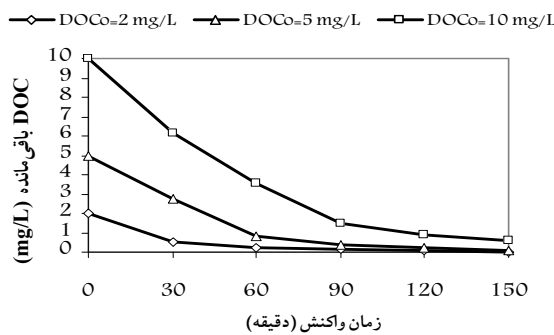
شکل ۲- مقایسه تأثیر غلظت TiO_2 بر درصد حذف DOC در اکسیداسیون فوتوكاتالیتیکی اسید هیومیک با فرایند UV/TiO_2 ($\text{pH} = 6.5$, $\text{DOC}_{t=0} = 5 \text{ ppm}$, $\text{D.O} = 5.6 \text{ ppm}$)

مطابق شکل ۳، اکسیداسیون اسید هیومیک با فرایند فوتوكاتالیتیکی UV/TiO_2 از سینتیک واکنش‌های درجه اول تبعیت می‌کند و ثابت سرعت واکنش در غلظتهاي $0/005$, $0/005$ و $0/0074$ گرم بر لیتر TiO_2 در حذف DOC به ترتیب $0/0227$, $0/0203$ و $0/0074$ گرم بر لیتر تفاوت قابل توجهی نداشت و از طرف دیگر افزایش بیشتر TiO_2 بر میزان نفوذ UV به عنوان منبع فتوون اثر منفی خواهد داشت، مقدار $1/0$ گرم بر لیتر TiO_2 به عنوان غلظت بهینه انتخاب گردید [۳].



شکل ۳- مقایسه تأثیر غلظت TiO_2 بر سرعت کاهش DOC در اکسیداسیون فوتوكاتالیتیکی اسید هیومیک با فرایند UV/TiO_2 ($\text{pH} = 6.5$, $\text{DOC}_{t=0} = 5 \text{ ppm}$, $\text{D.O} = 5.6 \text{ ppm}$)

۲-۳- اثر pH محیط واکنش بر کارایی فرایند UV/TiO_2 در حذف اسید هیومیک به منظور بررسی تأثیر pH بر کارایی فرایند فوتوكاتالیتیکی UV/TiO_2 , در شرایط $\text{TiO}_2 = 1/0$ گرم, $\text{DOC}_{t=0} = 5 \text{ ppm}$, $\text{D.O} = 5 \text{ ppm}$ و $\text{pH} = 6/5$ میلی‌گرم بر لیتر, روند تغییرات DOC نسبت به زمان واکنش در pH های $5/5$ و $8/5$ UV_{254} Abs . نتایج نشان می‌دهند که در $\text{pH} = 6/5$ DOC تغییرات DOC در زمان واکنش $1/5$ ساعت تقریباً ۷۰٪ افزایش نموده و در $\text{pH} = 8/5$ تغییرات DOC در زمان واکنش $1/5$ ساعت تقریباً ۶۰٪ افزایش نموده.

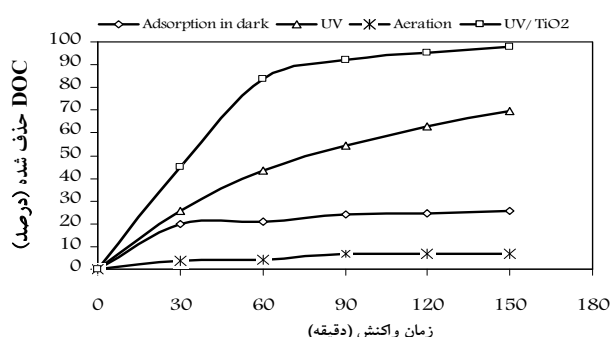


شکل ۷- مقایسه DOC باقی مانده به ازای غلظت‌های اولیه مختلف اسید (TiO₂= 0.1 g/L, pH=5, UV/TiO₂ UV/TiO₂, DO= 5.6 ppm)

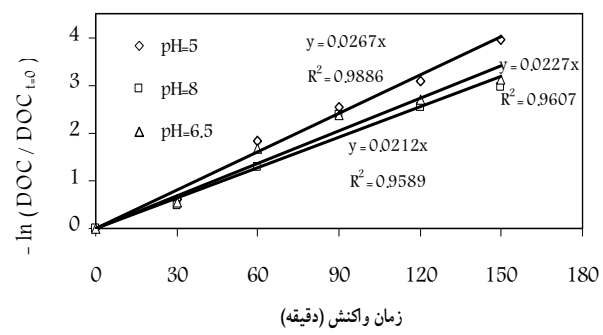
۴-۳- مقایسه فرایندهای جذب توسط UV، اکسیداسیون با UV و هوادهی در حذف اسید هیومیک

با توجه به شکل ۸، در شرایط DOC_0 برابر ۵ میلی‌گرم بر لیتر و pH برابر ۵، راندمان حذف اسید هیومیک با فرایندهای جذب در تاریکی توسط ۱/۰ گرم بر لیتر از TiO₂، اکسیداسیون با UV و هوادهی با DO₀ برابر ۵ میلی‌گرم بر لیتر بعد از دو ساعت و نیم به ترتیب برابر ۵/۶ درصد و ۶/۶ درصد می‌باشد و هیچ کدام از این فرایندها به تنها ی قادر به تأمین استاندارد DOC باقی مانده نمی‌باشند. البته عمل هوادهی در فرایند UV/TiO₂ صرفاً به منظور افزایش اکسیژن در سیستم، به عنوان گیرنده الکترون‌های برانگیخته TiO₂ و نهایتاً تولید رادیکال هیدروکسیل (OH*) برای اکسیداسیون اسید هیومیک انجام می‌گیرد [۷].

عمل جذب مواد آلی توسط TiO₂ به طور مؤثری بر سرعت اکسیداسیون آنها توسط رادیکال‌های هیدروکسیل تولید شده در فرایند فتوکاتالیتیک تأثیر می‌گذارد. ولی طبق یافته‌های حاصله و مطالعات مشابه، واکنش جذب الکترواستاتیکی بین اسید هیومیک و TiO₂ در شرایط اسیدی، بسیار سریع اتفاق می‌افتد [۱۰].



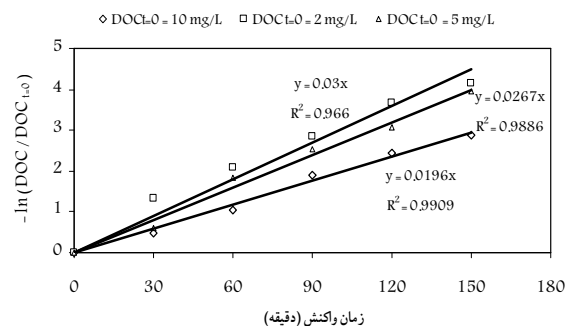
شکل ۸- مقایسه درصد حذف DOC با فرایندهای جذب توسط UV/TiO₂، هوادهی، UV و اکسیداسیون فتوکاتالیتیکی اسید هیومیک با فرایند UV/TiO₂ (TiO₂=0.1 g/L, DOC_{t=0}=5 ppm, DO=5.6 ppm)



شکل ۵- مقایسه تأثیر pH بر سرعت کاهش DOC در اکسیداسیون فتوکاتالیتیکی اسید هیومیک با فرایند UV/TiO₂ (TiO₂=0.1g/L, DOC_{t=0}=5 ppm, DO=5.6 ppm)

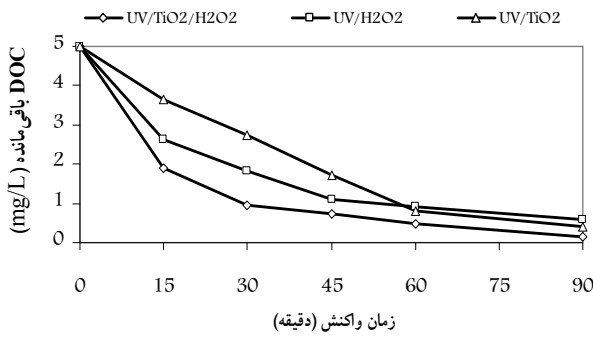
۳-۳- اثر غلظت اولیه اسید هیومیک ($DOC_{t=0}$) بر کارایی فرایند UV/TiO₂

به منظور بررسی تأثیر غلظت اولیه اسید هیومیک بر کارایی فرایند UV/TiO₂ در شرایط pH ۵، ۶.۵ و ۸، $DOC_{t=0}$ برابر ۵ میلی‌گرم بر لیتر و DO برابر ۵/۶ میلی‌گرم بر لیتر روند اکسیداسیون اسید هیومیک با غلظت‌های اولیه ۲ میلی‌گرم بر لیتر، ۵ میلی‌گرم بر لیتر و ۱۰ میلی‌گرم بر لیتر بر حسب DOC مورد مقایسه قرار گرفت که نتایج حاصله در شکل‌های ۶ و ۷ ارائه گردیده است.



شکل ۶- مقایسه سرعت واکنش حذف DOC بر حسب غلظت‌های اولیه مختلف DOC، توسط اکسیداسیون فتوکاتالیتیکی اسید هیومیک با (pH=5, DO=5.6ppm) UV/TiO₂

به استناد یافته‌های مذکور، اکسیداسیون فتوکاتالیتیکی اسید هیومیک در غلظت‌های اولیه مختلف، از سینتیک و واکنش‌های درجه اول تبعیت نموده و ثابت سرعت واکنش با افزایش غلظت اولیه کاهش می‌یابد، به طوری که ضریب سرعت بر حسب غلظت‌های اولیه ۰.۵ و ۱۰ میلی‌گرم در لیتر به ترتیب ۰/۰۲۶۷، ۰/۰۳۲۶۷ و ۰/۰۱۹۶ به دقيقه بوده و زمان لازم برای فرایند فتوکاتالیتیکی غلظت‌های اولیه مذکور به ترتیب ۹۰، ۳۰ و ۱۵۰ دقیقه می‌باشد.



شکل ۹ DOC باقیمانده در فرایندهای UV/H₂O₂، UV/TiO₂ و UV/TiO₂/H₂O₂ (pH=5, DO= 5.6 ppm, H₂O₂=1 mM, TiO₂=0.1 g/L)

۴- نتیجه‌گیری

نتایج این تحقیق مشخص نمود که فرایند UV/TiO₂ قادر است ۲ تا ۱۰ میلی‌گرم در لیتر DOC ناشی از اسیدهای هیومیک را در مدت ۳۰ تا ۱۵۰ دقیقه به طور مؤثری کاهش دهد و بر اساس UV₂₅₄ Abs. و SUVA باقیمانده در آب تصفیه شده، کیفیت مطلوب آب آشامیدنی را از لحاظ ترکیبات هیومیکی تأمین کند.

لازم به ذکر است که فرایند فوتوكاتالیتیکی UV/TiO₂ در حالت دوغاب^۲ جزء گروه BAT^۳ نیست، لکن در صورت ترکیب با سامانه غشاوی NF^۴ و یا با به کارگیری فاز ثابت TiO₂ و اصلاح سطوح نیمه هادی TiO₂ با هدف جایگزینی نور مرئی به جای UV. می‌تواند به عنوان یکی از روش‌های مؤثر در حذف ترکیبات هیومیکی منابع آبی مطرح گردد.

۵- قدردانی

این تحقیق در قالب طرح تحقیقاتی مصوب معاونت پژوهشی دانشکده بهداشت دانشگاه علوم پزشکی اصفهان انجام شده است که به این وسیله از حمایت مالی معاونت پژوهشی دانشگاه علوم پزشکی اصفهان تشكیر می‌گردد.

ضمناً از مساعدت معاونت محترم بهره‌برداری شرکت آب و فاضلاب استان اصفهان، جناب آقای مهندس مرتضوی و آزمایشگاه آب و فاضلاب آن شرکت، به ویژه جناب آقای مهندس عظیمی بابت همکاری در آزمایش‌های DOC سپاسگزاری می‌نماید.

² Slurry

³ Best Available Technology (BAT)

⁴ Nonfiltration

۵-۳- مقایسه فرایندهای با UV/H₂O₂، UV/TiO₂/H₂O₂ و UV/TiO₂

به منظور بررسی تأثیر افزایش H₂O₂ بر سیستم UV/TiO₂ شرایط DOC₀ برابر ۵ میلی‌گرم بر لیتر، TiO₂ برابر ۱/۰۰ گرم بر لیتر، pH ۵ برابر ۵ ppm DO برابر ۱/۶ میلی‌مول از آب اکسیژنه (Merck) به سیستم اضافه گردید که مطابق یافته‌های حاصله، کارایی فرایند UV/TiO₂/H₂O₂ در حذف DOC₀ و UV₂₅₄ Abs. بعد از یک ساعت اکسیداسیون فوتوكاتالیتیکی به ترتیب ۹۰/۴ و ۷۳/۹ درصد بوده که با حصول DOC باقیمانده برابر با SUVA_{0/1} m⁻¹ و UV₂₅₄ Abs. برابر با ۸/۰ L/mg.m برابر است. در پایان یک ساعت واکنش فوتوكاتالیتیکی، نتایج قابل قبولی از نظر تأمین استاندارد DOC حاصل می‌گردد. این در حالی است که در فرایند UV/TiO₂ بعد از یک ساعت، مقداری باقیمانده DOC، UV₂₅₄ و SUVA برابر است.

۸/۰ میلی‌گرم بر لیتر، ۱/۹ m⁻¹ و ۲/۳۷۵ L/mg.m می‌باشد. مطابق نتایج حاصله، نقش H₂O₂ به عنوان یک الکترون پذیرنده غیر قابل برگشت^۱ در ارتقاء راندمان فرایند UV/TiO₂ مورد تأیید قرار می‌گیرد، به طوری که ترکیب UV/TiO₂/H₂O₂ به دلیل تولید بیشتر رادیکال هیدروکسیل از کارایی بیشتری در اکسیداسیون اسید هیومیک برخوردار است [۷].

هر چند راندمان حذف اسید هیومیک در فرایند UV/H₂O₂. قبل از یک ساعت، از سرعت حذف بالاتری نسبت به فرایند UV/TiO₂ برخوردار است، لکن بعد از یک ساعت، این شرایط طبق شکل ۹ تغییر می‌نماید، به طوری که راندمان فرایند UV/H₂O₂ بعد از یک ساعت واکنش در حذف DOC₀ و UV₂₅₄ Abs. به ترتیب ۸۲/۶۲ و ۹۴/۶۲ درصد بوده در حالی که پارامترهای مذکور، در فرایند UV/TiO₂ بعد از یک ساعت به ترتیب ۸۴/۶۸ و ۹۴/۶۸ درصد می‌باشند.

عدم نیاز مستمر به مواد شیمیایی اکسیدان و پتانسیل پایین تشکیل تری هالومتان در خروجی فرایند UV/TiO₂ از امتیازات مهم آن نسبت به فرایند UV/H₂O₂ بوده و در شرایط مطالعه در این طرح، راندمان کلی سیستم UV/TiO₂ نسبت به UV/H₂O₂ مطلوب‌تر است [۱۰].

¹ Irreversible Electron Acceptor (IEA)

۶- مراجع

- 1- Valoon, G. W., and Duffy, S. J. (2005). *Environmental chemistry*, 1st Ed., Oxford Uni. Press/UK, 258-259.

- 2- EPA. (1999). "Alternative disinfectants and oxidants guidance manuals." Office of Water (4607), EPA 815-R-99-014.
- 3- Weber, W. J. (2007). "Properties of humic substances." <<http://www.ar.wroc.pl/~weber/kwasy2.htm>> (Nov. 15, 2007).
- 4- Christine, A., Murray, C. A., and Parson, S. A. (2006). "Preliminary laboratory investigation of disinfection by-product precursor removal using an advanced oxidation process." *J. Water and Environmental*, 20(3), 123-129.
- 5- USEPA. (1999). *Enhanced coagulation and enhanced precipitative softening guidance manual*, EPA 815-R99-012, Office of Water, Washington DC.
- 6- USEPA. (2006). *Initial distribution system evaluation guidance manual for the final stage disinfectants and disinfection by products rule*, EPA-Office of Water, Washington DC.
- 7- USEPA. (1998). *Handbook advanced photochemical oxidation processes*, EPA/625/R-98/004, Office of Research and Development, Washington DC.
- 8- Le-Clech, P. Lee, E. K., and Chen, V. (2006). "Hybrid photocatalysis/membrane treatment for surface waters containing low concentration of natural organic matters." *Water Research*, 40 (2), 323-330.
- 9- Murray, C. A., and Parsons, S. A. (2004). "Advanced oxidation processes: flosheet options for bulk natural organic matter removal. Water science and Technology ." *Water Supply*, 4(4), 113-119.
- 10- Sanly, L., Chiang, K., and Amal, R. (2005). "Advanced oxidation processes for the removal of humic substances." *Proc., 1st Australian Young Water Professionals Conference*, The Seientia, UNSW, Sydney, 2006.
- 11- APHA, AWWA, WEF. (1999). *Standard methods for the examination of water and wastewater*, 21st Ed., New York.
- 12- Doll, T. E., and Frimmel, F. H. (2005). "Photocatalytic degradation of carbamazepine, clofibric acid and imeprol with P25 and hombikat UV100 in the presence of NOM and other organic water constituents." *J. Water Research*, 39 (2-3), 403-411.